



## مقایسه ویژگی‌های فیزیکی شیمیایی فیلم‌های زیست تخریب پذیر رسانای پلی لاکتیک اسید حاوی

### پلی پیرول/اکسیدمس با پلی آنیلین / اکسید مس

پریسا عبدالستاری<sup>۱</sup>، محمود رضازاد باری<sup>۲\*</sup>، سجاد پیرسا<sup>۳</sup>

۱-دانشجوی دکتری علوم و صنایع غذایی، گروه علوم و مهندسی صنایع غذایی، دانشکده کشاورزی، دانشگاه ارومیه، ارومیه، ایران.

۲-استاد گروه علوم و مهندسی صنایع غذایی، دانشکده کشاورزی، دانشگاه ارومیه، ارومیه، ایران.

۳-دانشیار گروه علوم و مهندسی صنایع غذایی، دانشکده کشاورزی، دانشگاه ارومیه، ارومیه، ایران.

#### اطلاعات مقاله

#### چکیده

#### تاریخ های مقاله :

تاریخ دریافت: ۱۴۰۰/۱۰/۰۶

تاریخ پذیرش: ۱۴۰۰/۱۱/۱۶

#### کلمات کلیدی:

فیلم زیست تخریب پذیر،

فیلم رسانا،

نانوکامپوزیت،

اکسیدمس،

پلی پیرول،

پلی آنیلین.

DOI: 10.52547/fsct.19.123.161

DOR: 20.1001.1.20088787.1401.19.123.27.2

\* مسئول مکاتبات:

m.rezazadehbari@urmia.ac.ir

با توجه به اینکه کاربرد فیلم‌های زیست تخریب پذیر سبب کمک به حفاظت از محیط زیست می شود لذا در این مطالعه ویژگی‌های فیزیکی، مکانیکی، آنتی اکسیدانی و حرارتی فیلم پلی لاکتیک اسید حاوی پلی پیرول، پلی آنیلین و اکسیدمس بررسی شد. نتایج نشان داد که در اثر افزودن نانوذرات اکسیدمس ضخامت فیلم‌ها افزایش و میزان نفوذپذیری به بخار آب آنها کاهش معنی داری داشت. حلالیت فیلم‌ها نیز با افزایش میزان نانوذرات اکسیدمس افزوده شده، کاهش معنی داری نشان داد ( $p < 0/05$ ). فیلم‌های حاصله در اثر افزودن پلی آنیلین و پلی پیرول انعطاف پذیری کمتری را از خود نشان دادند در حالی که مقاومت آنها به شکست افزایش نسبی نشان داد. فعالیت آنتی اکسیدانی فیلم‌های پلی لاکتیک اسید حاوی پلی پیرول/ اکسید مس و پلی آنیلین/ اکسیدمس افزایش هدایت الکتریکی نسبت به پلی لاکتیک اسیدخالص نشان داد. فیلم پلی لاکتیک اسید خالص هیچ فعالیت هدایت الکتریکی نشان نداد در صورتی که افزودن پلی پیرول و پلی آنیلین سبب افزایش هدایت الکتریکی فیلم‌ها شد نانوذرات اکسیدمس نیز اثر معنی داری بر میزان هدایت الکتریکی نداشت. این فیلم‌ها به علت قابلیت رسانایی و ویژگی‌های مناسب حرارتی، مکانیکی و نفوذپذیری نسبت به بخار آب قابلیت استفاده به عنوان حسگرهای زیستی در بسته بندی مواد غذایی را دارند.

## ۱- مقدمه

بخش قابل توجهی از پلاستیک‌های مورد استفاده در صنایع غذایی از منابع تجدید ناپذیر به دست می‌آیند که ظرف مدت زمان کوتاهی دور انداخته می‌شوند و بالطبع سبب ایجاد مشکلات قابل توجه زیست محیطی می‌شوند، همین امر تمایل به استفاده از منابع تجدیدپذیر برای تولید کالاهای مصرفی زیست تخریب‌پذیر با قیمت رقابتی مناسب را در سال‌های اخیر افزایش داده است. پلی‌لاکتیک‌اسید<sup>۱</sup> نیز به علت زیست‌تخریب‌پذیری بالا، فرآیندپذیری خوب، زیست‌سازگاری مناسب و مصرف انرژی پایین در فرایند تولید و شکل‌پذیری خوب مورد توجه قرار گرفته است [۱]. این پلیمر به عنوان پلیمری امتزاج‌پذیر و قابل ارتجاع در اثر حرارت شناخته می‌شود [۲]. پلی‌لاکتیک‌اسید توسط اداره غذا و داروی ایالات متحده در لیست محصولات ایمن<sup>۲</sup> قرار داده شده و برای بسته‌بندی تمام مواد غذایی ایمن شناخته شده است [۳].

با اینکه استفاده از پلیمرهای زیست تخریب‌پذیر روز به روز در حال گسترش است، اما نمی‌توان گفت این جایگزینی بطور کامل صورت گرفته است. دلیل اصلی این امر نیز، برخی معایب این پلیمرها از جمله خواص مکانیکی ضعیف، آب دوستی بالا، دمای تغییر شکل پایین، نفوذپذیری بالای گاز و فرآیندپذیری ضعیف آن‌ها باشد که سبب محدودیت کاربرد این پلیمرها شده است [۴]. به همین دلیل از طریق وارد کردن یک سری ترکیبات آلی از قبیل برخپلیمرهای دیگر یا تقویت کننده‌های فلزی نظیر اکسیدمس، اکسیدروی، دی‌اکسید تیتانیوم و ... در مقیاس نانو به آمیزه پلیمرهای طبیعی و یا با روش‌هایی مانند ایجاد پیوند بر روی اسکلت پلیمر، تهیه کامپوزیت و سیستم‌های هیبریدی، فرآیند اصلاح خواص پلیمرهای زیست تخریب‌پذیر صورت می‌پذیرد [۵].

در این سال‌ها دسته نوینی از پلیمرها اختراع شده‌اند که مشخصه‌دارای خاصیت رسانایی الکتریکی هستند و به نام پلیمرهای هادی یا پلیمرهای رسانا معروفند [۶، ۷]. از جمله شاخص‌ترین پلیمرهای رسانا که کاربردهای مختلفی در صنایع دارند می‌توان به پلی‌پیرول (PPy)<sup>۳</sup>، پلی‌تیوفن (PT)<sup>۴</sup>، پلی‌آنیلین (PAni)<sup>۵</sup> و ... را اشاره

کرد [۸، ۹]. پلی‌پیرول از جمله پلیمرهای رساناست که به دلیل خواص مناسب رسانایی، پایداری محیطی خوب و سنتز آسان دارای کاربرد گسترده صنعتی و تجاری است [۱۰، ۱۱]. از جمله مزایای بالای این پلیمر سازگاری مناسب آن با سلول‌های پستانداران است [۱۲]. پلی‌پیرول در حالت اکسیدی نیز دارای رسانایی عالی می‌باشد [۱۳، ۱۴]. پلی‌پیرول در طراحی زیست‌حسگرها، حسگرهای گازی، پوشش‌های ضدالکترواستاتیک، سیم‌ها، باتری‌های پلیمری، دستگاه‌های الکترونیکی و ... استفاده می‌شود [۱۵]. پلی‌آنیلین نیز یکی از قدیمی‌ترین پلیمرهای هادی است که با توجه به هدایت الکتریکی بالامورد توجه بالایی قرار گرفته است. آنیلین به علت ویژگی‌هایی از قبیل پایداری بالا، سهولت تولید، کاربرد گسترده، هزینه پایین، در دسترس بودن مواد اولیه بیشتر و راندمان بالا پلیمریزاسیون، بیشتر مورد توجه قرار گرفته است. خصوصیات مناسب الکتریکی، الکتروشیمیایی و نوری آن را به ماده‌ای جذاب برای کاربرد در صنایع الکترونیکی، حسگرها، پوشش‌های ضد الکتریسته ساکن و پوشش‌های ضد خوردگی تبدیل کرده است [۱۶، ۱۷].

در میان انواع مختلف نانومواد، نانوذرات فلزی و اکسیدی مصارف بالایی دارند و ترکیبات بزرگی از نانوذرات تولید شده را تشکیل می‌دهند. نانوذرات دارای خواص فیزیک و شیمیایی جدیدی هستند که در ابعاد نانو بر سیستم‌های بیولوژیکی تاثیر می‌گذارند [۱۸، ۱۹]. خواص ضدباکتریایی و ضدقارچی نانوذرات مس، نقره، تیتانیوم و روی در کاهش رشد میکروارگانیسم‌های مختلف ثابت شده است [۲۰]. مس یکی مواد معدنی ضروری موجود در مواد غذایی است، جگر و کاکائو از جمله منابع غنی از مس هستند. مس در غلظت‌های کم، برای پروتئین‌های فلزی و آنزیم‌ها کوفاکتور بوده و همچنین دارای خاصیت شدید ضد میکروبی نیز می‌باشد. خاصیت ضد میکروبی مس بر میکروارگانیسم‌های متعدد از جمله اشرشیاکلامی<sup>۱</sup>، استافیلوکوکوس اورئوس<sup>۲</sup>، ائروباکتر آئروژنز<sup>۳</sup> و پریپیونی باکتر آئروژنیزا<sup>۴</sup> ثابت شده است [۲۱].

هدف از این مقاله بررسی تولید و ویژگی‌های فیزیکی شیمیایی، رسانایی و حرارتی پلیمر رسانای زیست

6. *Escherichia coli*  
7. *Staphylococcus aureus*  
8. *Enterobacter aerogenes*  
9. *Propionibacterium aerogenes*

1. PLA (Pply lactic Acid)  
2. GRAS (Generally recognized as safe)  
3. PPy (Polypyrrole)  
4. PT (Polythiophene)  
5. PAni (Polyaniline)

اسید به ۵۰ میلی‌لیتر کلروفورم اضافه شد. مخلوط حاصل به مدت ۶ ساعت بر روی همزن مغناطیسی هم زده شد. سپس نانوذرات اکسیدمس (۰، ۱/۵ و ۳ درصد وزنی/حجمی) به محلول افزوده شد، مخلوط حاصل مجدداً بروی همزن مغناطیسی قرار گرفت سپس ۰/۱ مولار پیروول یا آنیلین به ترکیب اضافه شد و به مدت ۳۰ دقیقه در حمام اولتراسوند قرار گرفتند در نهایت به مدت ۲ ساعت دیگر روی همزن مغناطیسی گذاشته شد محلول‌ها پس از گذشت زمان در پلیت‌های شیشه‌ای ریخته شدند و بعد از گذشت ۲۴ ساعت و تبخیر حلال از قالب‌ها جدا شدند سپس در محلول کلرید آهن ۰/۲ مولار غوطه‌ور شدند و پس از گذشت ۱۸ ساعت از محلول خارج شدند با آب مقطر آبکشی شده و به مدت ۲۴ ساعت در دمای محیط قرار گرفتند تا خشک شوند (شکل ۱).

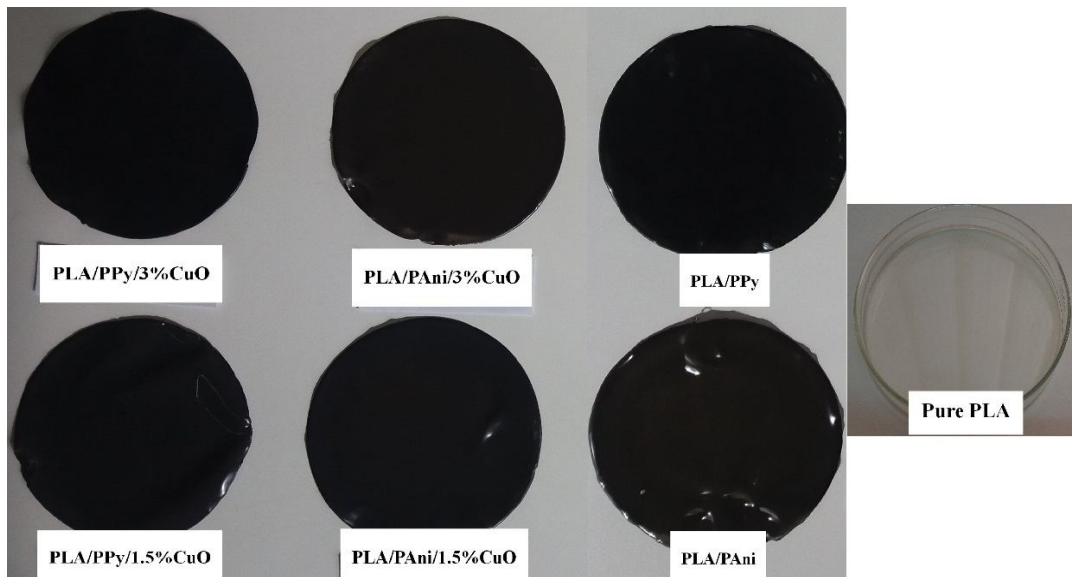


Fig 1 Poly(lactic acid) film and its active nanocomposites containing PANi or PPy/CuO

در دمای محیط بر روی شیکر قرار گرفتند. آب اضافی فیلم‌ها توسط کاغذ صافی گرفته شد و نمونه‌ها در آون با دمای  $105^{\circ}\text{C}$  به مدت ۲۴ ساعت خشک گردیدند. درصد حلالیت در آب فیلم‌ها مطابق معادله زیر محاسبه گردید ( $M_1$  و  $M_2$  به ترتیب وزن اولیه و نهایی فیلم‌هاست) [۲۳].

$$\text{Solubility}(\%) = \frac{M_1 - M_2}{M_1} \times 100$$

#### ۴-۲-۴-رطوبت

برای محاسبه میزان رطوبت، نمونه‌های فیلم در دسیکاتور حاوی سولفات کلسیم (دمای  $25^{\circ}\text{C}$ ) به مدت ۲۴ ساعت مشروط شدند. ۰/۲ گرم ( $W_0$ ) از هر نمونه در آون با دمای

تخریب‌پذیر پلی‌لاکتیک‌اسید حاوی پلی‌پیروول یا پلی‌آنیلین با نانوذرات اکسیدمس است.

## ۲-مواد و روش‌ها

مواد مورد استفاده مواد مورد استفاده در این پژوهش عبارت بودند از پلی‌لاکتیک‌اسید (خاتم پلیمر، ایران)، پیروول (مرک، آلمان)، آنیلین (مرک، آلمان)، نانوذرات اکسیدمس درجه خلوص ۹۹ درصد (یواس نانو، آمریکا)، کلروفورم با درجه خلوص ۹۹ درصد (مرک، آلمان) و سایر مواد شیمیایی نیز از شرکت مرک (آلمان) و سیگما آلدریج (آمریکا) تهیه شدند.

### ۲-۱-تولید فیلم

برای تهیه فیلم پلی‌لاکتیک‌اسید میزان ۱ گرم گرانول پلی‌لاکتیک

### ۲-۲-۲-ضخامت

ضخامت نمونه فیلم‌ها با استفاده از میکرومتر دیجیتالی در ۵ نقطه تصادفی از هر فیلم (پیرامون و مرکز هر فیلم) اندازه‌گیری گردید. میانگین ضخامت نقاط مختلف هر فیلم در محاسبات خواص مکانیکی و نفوذپذیری به بخار آب مورد استفاده قرار گردید [۲۲].

### ۲-۳-۲-حلالیت

جهت ارزیابی حلالیت در آب فیلم‌ها در ابتدا قطعات  $\text{cm}^2$   $2 \times 2$  از فیلم‌ها تهیه و وزن شدند، سپس فیلم‌های توزین شده در ۵۰ میلی‌لیتر آب مقطر غوطه‌ور شدند و به مدت ۲۴ ساعت

$$\text{Antioxidant Activity}(\%) = \frac{1 - A_{\text{Sample}}}{A_{\text{Control}}} \times 100$$

## ۷-۲- اندازه‌گیری مقاومت الکتریکی فیلم‌ها

جهت ارزیابی میزان مقاومت الکتریکی فیلم‌ها از دستگاه مولتی‌متر (Victor, 86D، ساخت چین) استفاده شد. دو الکتروود دستگاه با فاصله ۱ سانتی‌متری از هم روی فیلم قرار گرفت، سپس مقدار مقاومت الکتریکی از رویدستگاه قرائت و ثبت گردید [۲۷].

## ۸-۲- مطالعه ریز ساختار فیلم‌ها با استفاده از

### میکروسکوپ الکترونی روبشی (SEM)

ویژگی‌های ساختاری نانو سلولز بلوری با استفاده از میکروسکوپ عبور الکترونی (Zeiss-EM10C- 80 KV، ساخت آلمان) مورد مطالعه قرار گرفت. جهت آماده‌سازی نمونه‌ها برای تصویربرداری از سطح فیلم‌ها، ابتدا نمونه‌ها در ازت مایع شکسته و سپس از سمت مقابل قسمت شکسته شده به کمک چسب دو طرفه کربنی روی پایه فلزی چسبانده شد. نمونه‌ها با ذرات طلا پوشش داده شدند و تصویربرداری از نمونه‌ها در بزرگنمایی‌های مختلفی انجام گرفت [۲۷].

## ۹-۲- اندازه‌گیری خواص حرارتی (DSC)

نمونه‌ها با وزن تقریبی ۱۰ mg با شدتگرما دهی ۱۰°C/min در محدوده دمایی ۵ تا ۲۱۰°C توسط دستگاه کالری متر روبشی تفاضلی<sup>۱۱</sup> که از قبل با نمونه مرجع ایندیوم کالیبره شده بود، اسکن شدند. برای اندازه‌گیری خواص حرارتی فیلم‌ها از دستگاه (مدل DSC Pyris 6, Perkin Elmer)، ساخت آمریکا) استفاده شد. ظرف آلومینیومی خالی به عنوان مرجع و ازت به عنوان اتمسفر آزمون، مورد استفاده قرار گرفتند. سپس با توجه به ترموگرام حاصل، دمای گذر شیشه‌ای (T<sub>g</sub> °C)، دمای ذوب (T<sub>m</sub> °C)، آنتالپی ذوب (ΔH<sub>m</sub>) و درصد بلوریشدن (X%) اندازه‌گیری شد.

## ۱۰-۲- اندازه‌گیری ویژگی‌های مکانیکی فیلم‌ها

آزمایش‌های کشش با دستگاه آنالیز بافت Stable Micro Systems (مدل TA-XT Plus، ساخت انگلیس) انجام گرفت. قبل از انجام آزمایش‌ها فیلم‌های مشروط شده

۱۰۵°C خشک و پس از گذشت ۲۴ ساعت از آن خارج و توزین (W<sub>1</sub>) شد. وزن نهایی بر اساس اختلاف دو توزین متوالی تعیین و ثبت گردید. میزان رطوبت نیز طبق رابطه‌ی زیر تعیین گردید [۲۴].

$$MC(\%) = \frac{W_0 - W_1}{W_0} \times 100$$

## ۵-۲- نفوذ پذیری به بخار آب

برای محاسبه نفوذپذیری به بخار آب از استاندارد مصوب ASTM E-96 که توسط حسینی و همکاران ۲۰۰۱ اصلاح شده است استفاده گردید. ابتدا درون ویال‌ها حدود ۳ گرم کلرید کلسیم بدون آب ریخته و سطح ویال‌ها به وسیله فیلم‌های بدون چروکیدگی و سوراخ با کمک پارافین مذاب پوشانده شد. برای حفظ گرادیان رطوبت نسبی ۷۵ درصد عبوری از فیلم‌ها، از محلول اشباع کلرید سدیم در دمای ۲۰ °C داخل دسیکاتور استفاده شد. سپس با گذشت زمان تغییرات وزن ویال‌ها اندازه‌گیری شد. منحنی افزایش وزن ویال‌ها با گذشت زمان رسم شد و پس از محاسبه‌ی رگرسیون خطی، شیب خط حاصل محاسبه گردید. از تقسیم شیب خط کاهش وزن مربوط به هر ویال به سطح فیلم که در معرض انتقال بخار آب قرار داشت، آهنگ انتقال بخار آب (WVTR) و نفوذپذیری به بخار آب (WVP) طبق روابط زیر محاسبه شد [۲۵].

$$WVTR = \frac{\text{Line Slope}}{\text{Film Surface Area}}$$

$$WVP = \frac{WVTR}{\Delta p} \times \text{Film Thickness}$$

## ۶-۲- تعیین خاصیت آنتی‌اکسیدانی

توانایی از دست دادن اتم هیدروژن توسط ترکیبات فنولیک یا میزان بی رنگ کردن محلول بنفش ۲ و ۲ دی‌فنیل-۱-پیکریل-هیدرازیل<sup>۱۰</sup> عصاره متانولی فیلم‌ها مورد سنجش قرار گرفت. در این آزمون از DPPH به عنوان ترکیبات رادیکالی پایدار استفاده گردید. میزان جذب توسط دستگاه اسپکتروفتومتر مدل (Model T60 UV، ساخت آمریکا) در طول موج ۵۱۷nm ثبت شد. ظرفیت آنتی‌اکسیدانی فیلم‌ها به صورت درصد بازدارندگی DPPH با استفاده از رابطه زیر محاسبه گردید [۲۶].

11. DSC (Differential Scanning Calorimetry)

10. 2,2-diphenyl-1-picrylhydrazyl

کاهش می‌دهد و بنابراین مولکول‌های بخار آب برای عبور از عرض فیلم فضای بیشتری را طی می‌کند و نفوذپذیری به بخار آب کاهش می‌یابد. همچنین نانوذرات اکسیدمس باعث کاهش انحلال‌پذیری و محتوای رطوبت شده است. محتوای رطوبت فیلم‌های پلی‌لاکتیک‌اسیدی (با توجه به ماهیت آبرگریزی این پلیمر) احتمالاً به دلیل وجود خلل و فرج‌های احتمالی موجود در سطح و عرض فیلم می‌باشد که باعث نفوذ مولکول‌های آب به این فضاها می‌شود. اسدی و پیرسا در سال ۲۰۲۰ فیلم پلی‌لاکتیک‌اسید اصلاح شده با رنگدانه لیکوپن و نانوذرات اکسیدتیتانیوم را ساخته و ضخامت و ویژگی‌های آبی آن را بررسی کرده‌اند. نتایج تحقیق آن‌ها با نتایج تحقیق همخوانی مناسبی دارد [۲۸].

### ۳-۳- نفوذ بخار آب

مقدار نفوذپذیری به بخار آب به دلیل نقش تعیین کننده آب در واکنش‌های تخریبی، شیمیایی، آنزیمی و رشد میکروبی در بسته‌بندی مواد غذایی دارای اهمیت است نرخ انتقال بخار آب مقدار رطوبتی است که قابلیت رد شدن از ساختار پلیمر را داراست [۲۹]. صنعت بسته‌بندی نفوذپذیری در برابر بخار آب، نه تنها به دلیل حفظ رطوبت ماده غذایی بلکه به دلیل خاصیت دیواره ای پلیمر در مقابل نفوذ رطوبت محیط امری مهم تلقی می‌گردد [۳۰]. نفوذپذیری نسبت به بخار آب و سرعت عبور بخار آب از فیلم‌ها تحت تأثیر عوامل متعددی همچون ماهیت آبدوست یا آبریز بودن مواد، فرآیند تولید فیلم، نوع، مقدار و نحوه توزیع افزودنی‌های مورد استفاده، وجود حفرات، شکافها، پیچ و خم‌ها و سرانجام چگونگی نظم در ساختار پلیمر می‌باشد [۳۱]. جدول ۱، نشان دهنده تأثیر مقدار نانوذرات اکسیدمس بر روی خاصیت آنتی اکسیدانی فیلم پلی‌لاکتیک‌اسید/پلی‌آنیلین و پلی‌پیرول است. با اضافه شدن نانوذرات اکسیدمس به فیلم، خلل و فرج‌های موجود پر شده و مولکول‌های آب قادر به نفوذ با ساختار فیلم نخواهد بود و همین امر سبب کاهش نفوذپذیری بخار آب در فیلم‌های حاوی نانوذرات اکسیدمس است. کمترین میزان نفوذپذیری مربوط به فیلم حاوی ۳٪ اکسیدمس است. نتایج مطالعه پیرسا (۲۰۱۶) نشان داد به طور کلی فیلم‌هایی با بیشترین سطوح نانوذره بیشترین میزان ضخامت را داشتند که ممکن است به علت افزایش مواد جامد باشد [۳۲]. در واقع افزایش غلظت نانو ذرات و توزیع و پراکندگی بهتر و یکنواخت تر آن‌ها در ماتریس پلیمری باعث کاهش فضاها خالی و به دنبال آن

به صورت‌دمبلی با دستگاه برش پنوماتیکی به ابعاد  $2 \times 10 \text{ cm}^2$  بریده شدند. فاصله بین دو فک دستگاه ۵۰ mm و سرعت حرکت  $50 \text{ mm/min}$  انتخاب شد. سپس ویژگی‌هایی کششی فیلم‌ها شامل مقاومت کششی (TS (Mpa)، درصد کشش در نقطه پارگی (%EAB) و مدول کششی (TM (Mpa) مطابق روش استاندارد مصوب ASTM از روی منحنی نیرونسبت به تغییرات طول ارزیابی شدند [۲۱].

### ۲-۱۱- آنالیز آماری

کلید آزمون‌ها حداقل در ۳ تکرار انجام شد و نتایج با آنالیز واریانس یک طرفه (ANOVA) و در صورت لزوم آزمون تعقیبی دانکن (Duncan) در سطح معنی‌داری ( $\alpha=0/05$ ) مورد استفاده قرار گرفت. تجزیه و تحلیل داده‌ها با کمک نرم‌افزار SPSS ورژن ۲۶ انجام شد. نمونه‌های بهینه با توجه به آزمون‌های فیزیکی و شیمیایی انتخاب شدند و آزمون‌های دستگاهی برای ۵ فیلم ( Pure PLA, PLA/PPy, PLA/PAni, PLA/PPy/3%CuO, PLA/PAni/CuO) انجام گرفت.

### ۳- نتایج و بحث

#### ۳-۱- ضخامت

جدول ۱ تأثیر مقدار نانوذرات اکسیدمس بر روی ضخامت و خواص آبی فیلم پلی‌لاکتیک‌اسید/پلی‌آنیلین و پلی‌پیرول حاوی اکسیدمس را نشان می‌دهد. همانطور که مشخص است افزودن نانوذرات اکسیدمس تأثیر معنی‌داری بر روی افزایش ضخامت فیلم در هر دو سری کامپوزیت‌های حاوی پلی‌آنیلین و پلی‌پیرول داشته است و بالاترین ضخامت فیلم مربوط به فیلم حاوی ۳ درصد اکسیدمس می‌باشد. افزایش ضخامت در حضور نانوذرات به این دلیل است که این ذرات ماده جامد موجود در فیلم را افزایش داده و منجر به افزایش ضخامت فیلم می‌شوند. از طرف دیگر با قرار گیری نانوذرات اکسیدمس در بین زنجیره‌های پلیمری پلی‌لاکتیک‌اسید/پلی‌آنیلین و پلی‌پیرول ضخامت فیلم را افزایش می‌دهند.

#### ۳-۲- محتوای رطوبت و حلالیت

با توجه به نتایج گزارش شده در جدول ۱ مشاهده می‌شود، که از میان خواص آبی فیلم پلی‌لاکتیک‌اسید/پلی‌آنیلین و پلی‌پیرول، نفوذپذیری به بخار آب در حضور نانوذرات اکسیدمس کاهش می‌یابد، که احتمالاً به این دلیل است که این نانوذرات فضاها خالی بین پلیمری در زنجیره‌های پلیمری را

محصول غذایی تغییر می‌یابد. می‌توان با رصد کردن میزان تغییرات هدایت الکتریکی و ایجاد ارتباط بین شرایط نگهداری (دما و زمان نگه‌داری)، خواص شیمیایی ماده غذایی و ویژگی الکتریکی فیلم هادی الکتریسته، مدل‌های ریاضی بدست آورد که توانایی تشخیص زمان ماندگاری، تاریخ انقضا و شرایط شیمیایی محصول را به مصرف‌کننده می‌دهد. ویژگی اولیه الکتریکی فیلم هادی الکتریسته می‌تواند حساسیت این فیلم‌ها به تغییرات محیطی را تحت تاثیر قرار دهد. از این رو بررسی خواص الکتریکی اولیه این فیلم‌ها اهمیت فراوانی دارد. طبق نتایج گزارش شده در جدول ۱، فیلم پلی‌لاکتیک‌اسید خالص فاقد هدایت الکتریکی بود (عایق هدایت الکتریکی) در حالی که فیلم‌های پلی‌لاکتیک‌اسید/پلی‌آنیلین یا پلی‌پیرول/اکسیدمس دارای هدایت الکتریکی مناسب ( $500\text{ k}\Omega$ ) بود که نشان دهنده ایجاد ویژگی الکتریکی بسیار مناسب در حضور پلی‌آنیلین و پلی‌پیرول بود. همانطور که از نتایج گزارش شده در جدول ۱ برمی‌آید تاثیر نانوذرات اکسیدمس بر روی مقاومت الکتریکی فیلم‌ها مشخص است، این نانوذرات تاثیر معنی داری بر روی خاصیت الکتریکی فیلم داشته است که بیانگر این مطلب است که با قرارگیری پلی‌آنیلین یا پلی‌پیرول در بین زنجیره‌های پلی‌لاکتیک‌اسید هدایت الکتریکی قابل توجهی در فیلم ایجاد شده است که قرارگیری نانوذرات اکسیدمس بر روی نانوذرات پلی‌آنیلین یا پلی‌پیرول ممانعتی در انتقال بارهای الکتریکی ایجاد نمی‌کند. رسانش الکتریکی در پلیمرهای ذاتاً رسانا مانند پلی‌آنیلین و پلی‌پیرول ناشی از حاملان متحرکی است که در اثر آرایش کردن در سامانه الکترونی  $\pi$  به دست می‌آیند. با آرایش کردن، یعنی با برداشتن الکترون‌ها از نوار والانس (آرایش مثبت)، یا افزودن الکترون به نوار رسانایی (آرایش منفی) بارالکتریکی به پیکره زنجیره پلیمری القا و موجب دگرگونی جزئی ولی مهم در موقعیت اتم‌های محل القای بار می‌شود که نهایتاً هدایت الکتریکی آن را تغییر می‌دهد. پیرسا و همکاران در سال ۲۰۱۸ از پلی‌پیرول برای تهیه فیلم‌های هوشمند هادی الکتریسته بر مبنای فیلم سلولوز باکتریایی استفاده کردند. آن‌ها ایجاد هدایت الکتریکی مناسب در فیلم زیست‌تخریب‌پذیر در حضور پلی‌پیرول را تایید کردند. نتایج تحقیق آن‌ها با نتایج تحقیق حاضر کاملاً مطابقت دارد [۲۷].

کاهش نفوذپذیری به بخار آب در فیلم‌های کامپوزیتی می‌شود. دلپوو و همکاران در سال ۲۰۱۲ ویژگی ممانعت از نفوذ بخار آب توسط فیلم پلی‌لاکتیک‌اسید را بررسی کرده‌اند. نتایج تحقیق آن‌ها نتایج تحقیق حاضر را تایید می‌کند [۳۳].

### ۳-۴- خاصیت آنتی اکسیدانی

خاصیت آنتی اکسیدانی از مهمترین ویژگی‌های فیلم‌های فعال می‌باشد که در بسته‌بندی محصولات غذایی حساس به اکسیداسیون مورد توجه است. فیلم‌های فعال آنتی اکسیدان به راحتی با جذب عوامل اکسنده می‌تواند منجر به افزایش ماندگاری محصولات غذایی مانند روغن‌ها شود. عوامل آنتی اکسیدان مانند اسانس‌ها و اسانس و همچنین نانوذرات اکسیدهای فلزی با تماس در عوامل اکسنده باعث خاموشی آن‌ها شده ماده غذایی را از فرایند اکسیداسیون حفظ می‌کند. جدول ۱، تاثیر مقدار نانوذرات اکسیدمس بر روی خاصیت آنتی اکسیدانی فیلم پلی‌لاکتیک‌اسید/پلی‌آنیلین و پلی‌پیرول را نشان می‌دهد. همانطور که مشخص است، نانوذره اکسیدمس به شدت خاصیت آنتی اکسیدانی فیلم را افزایش داده است. خاصیت آنتی اکسیدانی نانوذرات مختلف مانند اکسید تیتانیوم، اکسیدمس و اکسیدروی توسط محققین مختلف تایید شده است. خاصیت آنتی اکسیدانی به صورت توانایی جذب رادیکال‌های آزاد DPPH مورد بررسی قرار می‌گیرد که جذب این رادیکال‌های آزاد یا از طریق واکنش‌های اکسایش/کاهش یا الکترواستاتیکی توسط عوامل آنتی اکسیدان اتفاق می‌افتد و یا اینکه این رادیکال به صورت فیزیکی بر روی عوامل آنتی اکسیدان جذب شده و غیرفعال می‌گردند. در مورد نانوذرات اکسیدمس می‌توان گفت که عمل غیرفعال‌سازی رادیکال‌های آزاد هم می‌تواند به دلیل برهم‌کنش‌های الکترواستاتیکی بین نانوذرات و رادیکال‌های DPPH باشد و هم می‌تواند به دلیل جذب فیزیکی رادیکال‌های آزاد بر روی سطح نانوذرات اتفاق بیوفتد. داس و همکاران در سال ۲۰۱۳ خاصیت آنتی اکسیدانی نانوذرات اکسید فلزی (اکسیدمس) را بررسی کرده‌اند. نتایج تحقیق آن‌ها نتایج این تحقیق را تایید می‌کند [۳۴].

### ۳-۵- خاصیت الکتریکی

فیلم‌های هادی الکتریسته توانایی استفاده به عنوان فیلم هوشمند در بسته‌بندی مواد غذایی را دارند. هدایت الکتریکی این فیلم‌ها در تماس با گازهایی شیمیایی تولید شده در محصول غذایی یا در اثر فشار مکانیکی ایجاد شده در داخل

**Table 1** Physical and electrical properties of polylactic acid film and its active nanocomposites

WVP ( $\text{g s}^{-1} \text{m}^{-1} \text{Pa}^{-1}$ )	Electrical resistance (k $\Omega$ )	Antioxidant activity (%)	Moisture content (%)	Solubility (%)	Thickness ( $\mu\text{m}$ )	Film
$2.4 \times 10^{-6} \pm 6 \times 10^{-3a}$	Nd**	$10.56 \pm 0.49^f$	$8.13 \pm 0.32^d$	$1.68 \pm 0.08^c$	$0.127 \pm 0.003^*$	PLA
$1.3 \times 10^{-6} \pm 5 \times 10^{-4b}$	$134.6 \pm 6.9^c$	$71.82 \pm 3.62^b$	$9.72 \pm 0.28^{bc}$	$4.49 \pm 0.13^c$	$0.141 \pm 0.004^c$	PLA/PPy
$8.7 \times 10^{-7} \pm 1 \times 10^{-3d}$	$1656 \pm 66.9^d$	$75.99 \pm 2.34^b$	$8.77 \pm 0.37^d$	$4.12 \pm 0.51^c$	$0.182 \pm 0.004^c$	PLA/ PPy/ 1.5%CuO
$4.5 \times 10^{-7} \pm 8 \times 10^{-4c}$	$277.6 \pm 13.3^e$	$81.49 \pm 4.37^a$	$9.0 \pm 0.1^c$	$3.64 \pm 0.23^d$	$0.233 \pm 0.001^{ab}$	PLA/ PPy/ 3%CuO
$2.3 \times 10^{-6} \pm 2 \times 10^{-3a}$	$3440 \pm 57.1^c$	$16.91 \pm 1.29^e$	$12.84 \pm 0.41^a$	$7.65 \pm 0.29^a$	$0.154 \pm 0.003^d$	PLA/PAni
$1.8 \times 10^{-6} \pm 7 \times 10^{-3b}$	$29020 \pm 225.2^a$	$20.19 \pm 2.62^d$	$10.28 \pm 0.29^b$	$6.63 \pm 0.18^b$	$0.211 \pm 0.002^b$	PLA/ PAni/ 1.5%CuO
$7.8 \times 10^{-7} \pm 7 \times 10^{-4d}$	$11180 \pm 85.9^b$	$26.99 \pm 2.93^c$	$6.45 \pm 0.09^a$	$6.45 \pm 0.73^b$	$0.234 \pm 0.001^a$	PLA/PAni/ 3%CuO

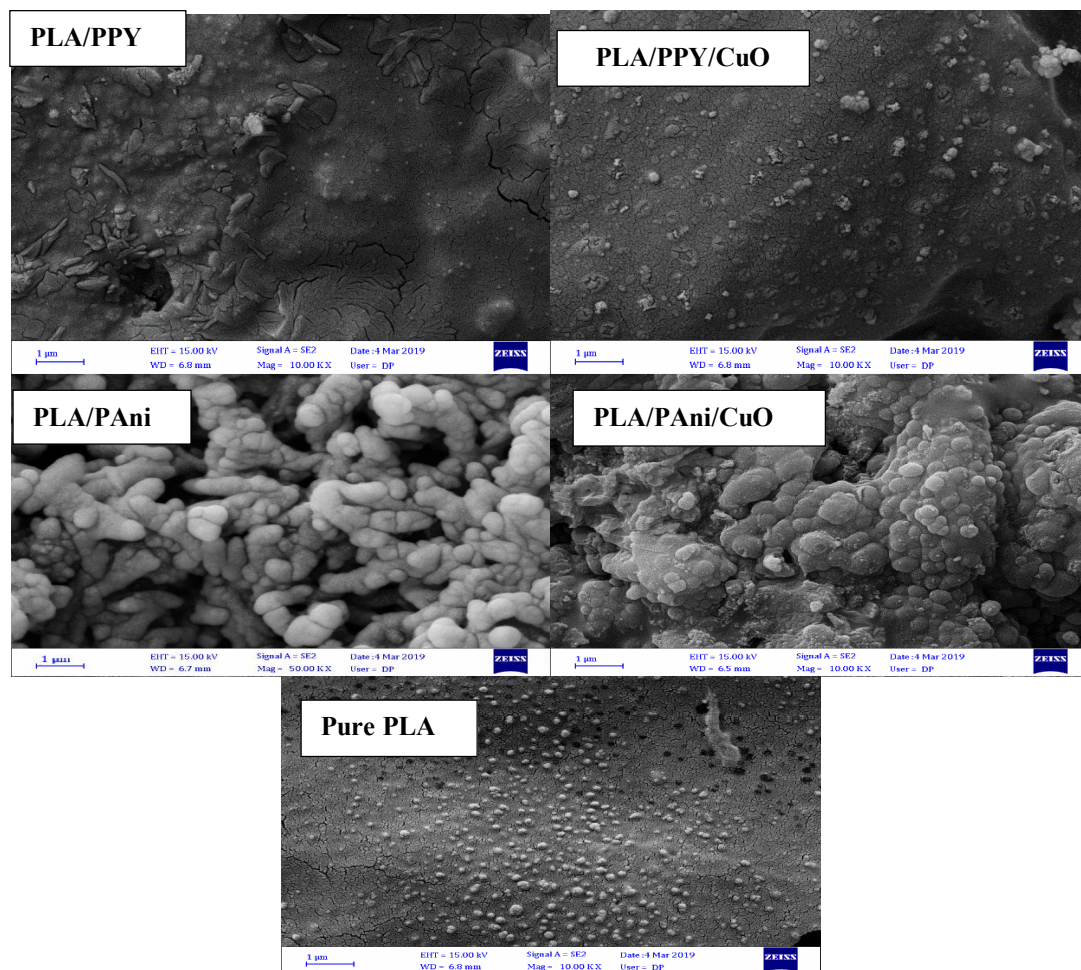
\* Different lowercase letters represent a significant difference ( $p < 0.05$ ) at a confidence level of 95% percolumn

\*\*Not detected

سطحی در برخی نقاط آن مشاهده می‌شود. وجود پلی‌پیرول در فیلم حاوی پلی‌لاکتیک‌اسید/پلی‌پیرول به صورت نامنظم در سطح فیلم مشاهده می‌شود که منجر به تغییر در زنجیره‌های پلیمر شده که این امر منجر به باز شدن فضای بین ماتریس شده است ولی افزودن نانوذرات اکسیدمس سبب یکنواختی بیشتر در سطح فیلم پراکنش منظم‌تر این نانوذرات است.

### ۳-۶- بررسی خصوصیات مورفولوژی و ساختاری فیلم‌ها

شکل ۲ تصاویر SEM فیلم پلی‌لاکتیک‌اسید و کامپوزیت‌های آن با پلی‌آنیلین، پلی‌پیرول و اکسیدمس را نشان می‌دهد. همانطور که از تصاویر SEM مشخص است، فیلم پلی‌لاکتیک‌اسید خالص صاف‌تر دارد که شکاف‌های



**Fig 2** SEM images of polylactic acid film and its active nanocomposites

ارزشمند در تولید نمودار فاز برای مواد مختلف شیمیایی ساخته است.

شکل ۳ طیف های DSC و جدول ۲ مشخصات حرارتی (دمای انتقال شیشه ای (T<sub>g</sub>), دمای کریستالیزاسیون (T<sub>c</sub>) و دمای ذوب (T<sub>m</sub>)) فیلم های پلی لاکتیک اسید خالص (PLA)، پلی لاکتیک اسید اصلاح شده با پلی پیرول (PLA/PPy)، پلی لاکتیک اسید اصلاح شده با پلی پیرول/اکسید مس (PLA/PPy/CuO)، پلی لاکتیک اسید اصلاح شده با پلی آنیلین (PLA/PAni) و پلی لاکتیک اسید اصلاح شده با پلی آنیلین/اکسید مس (PLA/PAni/CuO) را نشان می دهد.

همانطور که از شکل ۳ مشخص است برای همه طیف های پلی لاکتیک اسید و کامپوزیت های آن به طور واضح سه پیک شامل پیک گرماگیر دمای انتقال شیشه ای در محدوده دمایی ۴۱ تا ۵۸ درجه سانتی گراد، پیک گرمای ذوب کریستالیزاسیون در محدوده دمایی ۸۸ تا ۱۲۰ درجه سانتی گراد و پیک گرما گیر دمای ذوب در محدوده دمایی ۱۴۷ تا ۱۵۳ دیده می شود. نتایج نشان می دهد که با افزودن پلی پیرول و اکسید مس به ساختار پلی لاکتیک اسید دمای انتقال شیشه ای، دمای کریستالیزاسیون و دمای ذوب کاهش می یابد. دلیل کاهش دمای ذوب، دمای انتقال شیشه ای و دمای کریستالیزاسیون با افزودن پلی پیرول، اکسید مس می تواند به این دلیل باشد که نانوذرات اکسید مس به صورت فیزیکی در داخل زنجیره های پلیمری پلی لاکتیک اسید قرار گرفته و نیروهای جاذبه بین مولکولی را کاهش می دهد که منجر به این می شود که پلیمر در دماهای پایتتر ذوب می شود. با توجه به ساختار کریستالی اکسید مس کاملاً انتظار می رفت که با افزودن این نانوذره به ساختار فیلم دمای کریستالیزاسیون کاهش یابد که این نتیجه نیز حاصل شده است. به عبارت دیگر می توان گفت که وجود ذرات کریستالی اکسید مس، به فیلم پلی لاکتیک اسید کمک می کند در دماهای پایین حالت کریستالی نشان دهد. با افزودن نانوذرات در همه نمونه ها رفتار بلورینگی با دمای بلورینگی سرد (T<sub>c</sub>) در حال کاهش مشاهده شد. این پدیده ناشی از عملکرد نانوذرات به عنوان عامل هسته زایی در بلورینگی بیان شده است [۳۷، ۳۸]. دمای ذوب (T<sub>m</sub>) نیز با افزودن نانوذرات کاهش نشان داد این پدیده می تواند به دلیل اثر محدودکنندگی نانوذرات در مرحله تشکیل بلور باشد به طوری که مانع از نفوذ و تا خوردن زنجیرها داخل شبکه بلوری در حال رشد

در فیلم کامپوزیت پلی لاکتیک اسید/پلی آنیلین، وجود دانه های پلی آنیلینی در سطح پلیمر مشاهده می شود.

در این فیلم دانه های پلی آنیلین مانند دانه های تسبیح به هم پیوسته هستند. وجود پلی آنیلین در سطح پلی لاکتیک اسید می تواند ضخامت، نفوذپذیری به بخار آب، خواص مکانیکی و سایر خواص فیلم را تحت تاثیر قرار دهد. مورفولوژی سطحی فیلم های پلی لاکتیک اسید/پلی آنیلین/اکسید مس بسیار به هم شبیه هستند. فیلم پلی لاکتیک اسید/پلی آنیلین/اکسید مس نسبت به فیلم های پلی لاکتیک اسید/پلی پیرول/اکسید مس ساختار منظم تری دارد که احتمالاً به این دلیل است که نانوذرات پلی آنیلین نسبت به پلی پیرول ساختار هندسی منظم تری دارد. وانگ و همکاران (۲۰۲۰)، ساختار فیلم پلی لاکتیک اسید و کامپوزیت های آن با پلی آنیلین را بررسی کرده اند. نتایج تحقیق حاضر با نتایج وانگ و همکاران از لحاظ مورفولوژی سطحی و تصاویر SEM مطابقت دارد [۳۵]. تانگ و همکاران (۲۰۲۰)، ساختار فیلم پلی لاکتیک اسید و کامپوزیت های آن با نانوذرات اکسید روی را بررسی کرده اند. نتایج تانگ و همکاران از لحاظ مورفولوژی سطحی و پخش شدگی نانوذرات در سطح پلیمر نتایج تحقیق حاضر را تایید می کند [۳۶].

### ۳-۷- آنالیز DSC فیلم پلی لاکتیک اسید و کامپوزیت های آن

از تکنیک DSC می توان برای اندازه گیری شماری از خواص مشخص یک نمونه استفاده کرد. این تکنیک برای محاسبه گرما یا دمای انجماد، کریستالیزاسیون و دمای شیشه ای استفاده شود. انتقال شیشه ای زمانی که دمای یک جامد بی نظم افزایش یابد به عنوان یک پله در ابتدای منحنی DSC آشکار می شود. این پیک ناشی از آن است که با افزایش دما جسم دچار یک تغییر ظرفیت گرمایی می شود (تغییر فاز نمی دهد). در برخی نقاط دمایی مولکول ها ممکن است به آزادی کافی برای حرکت به سمت آرایش خودبه خودی به سمت یک ساختار کریستالی دست یابند که به عنوان دمای کریستالیزاسیون شناخته می شود. این انتقال از جامد بی نظم به جامد کریستالی یک روند گرمازا است و به صورت یک پیک آشکار می شود و زمانی که دما افزایش می یابد سرانجام نمونه به دمای ذوب می رسد. روند ذوب نتیجه اش یک پیک گرماگیر در منحنی DSC است. توانایی تعیین دمای انتقال و آنالیز DSC را به یک ابزار



می‌شوند. تن و همکاران مشاهده کردند الیاف سلولز نیز اثر مشابهی بر روی نانوکامپوزیت پلیمری دارند [۳۹]. واسیل و همکاران در سال ۲۰۱۷ ویژگی‌های حرارتی و طیف‌های DSC پلی‌لاکتیک‌اسیدخالص و کامپوزیت‌های آن با اکسیدروی، مس و نقره را بررسی کرده‌اند. آن‌ها نشان دادند که افزودن اکسیدروی، مس و نقره به ساختار فیلم پلی‌لاکتیک‌اسید، دمای ذوب، دمای انتقال شیشه ای و دمای

کریستالیزاسیون آن را کاهش می‌دهد. نتایج واسیل و همکاران نتایج این مطالعه را تایید می‌کند [۴۰]. آلام و همکاران در سال ۲۰۱۴ ویژگی‌های حرارتی و طیف‌های DSC پلی‌لاکتیک‌اسید خالص و کامپوزیت آن با نانو لوله‌های کربنی و روغن کتان را بررسی کردند. نتایج تحقیق آلام و همکاران منطبق با نتایج تحقیق حاضر می‌باشد [۴۱].

Table 2 Thermal properties of polylactic acid film and its nanocomposites

X%	$\Delta H_m$ (J/g)	$T_m$ (°C)	$T_c$ (°C)	$T_g$ (°C)	Film
15	13.85	153	120	58	PLA
25	22.24	151	95	49	PLA/PPy
29	26.54	150	91	44	PLA/ PPy/3%CuO
39	37.29	146	87	40	PLA/PAni
45	44.14	140	81	36	PLA/PAni/3%CuO

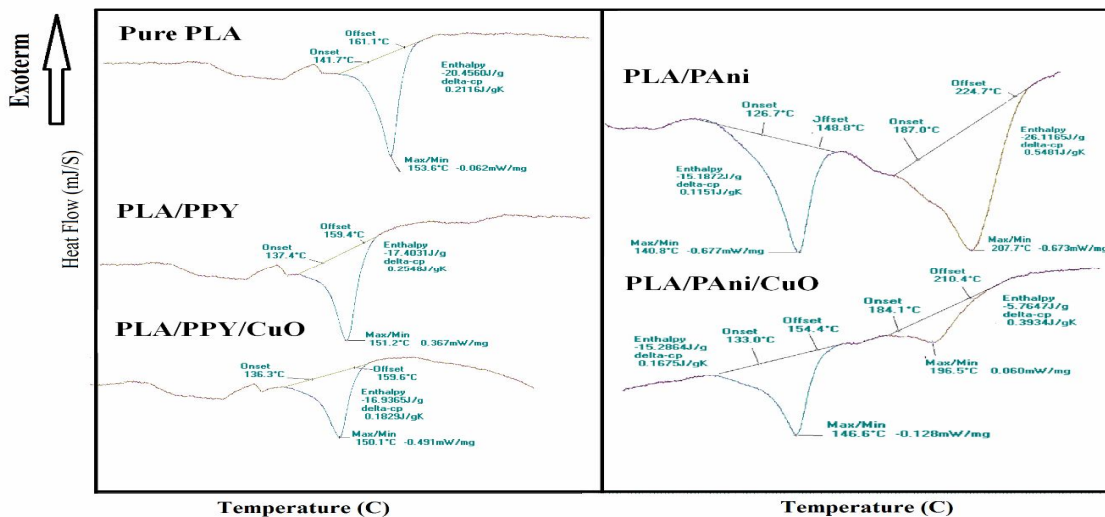


Fig 3 DSC analysis of polylactic acid film and its active nanocomposites

نانوذرات و سایر افزودنی‌ها به فیلم‌های پلیمرهای زیستی می‌تواند خواص مکانیکی آن‌ها را تغییر دهد [۴۱، ۴۴، ۴۵]. جدول ۳ خواص مکانیکی (کشش پذیری تا نقطه شکست و مقاومت کششی) فیلم‌های پلی‌لاکتیک‌اسید و کامپوزیت‌های آن با پلی‌آنیلین یا پلی‌پیرول با اکسیدمس را نشان می‌دهد. همانطور که مشخص است، فیلم پلی‌لاکتیک‌اسید خالص بیشترین مقاومت کششی و بیشترین کشش پذیری را دارد که نشان می‌دهد فیلم پلی‌لاکتیک‌اسید علی‌رغم اینکه مقاومت کششی مناسبی دارد انعطاف پذیری مناسبی نیز دارد. افزودن پلی‌آنیلین، پلی‌پیرول و اکسیدمس خواص مکانیکی فیلم پلی‌لاکتیک‌اسید را تغییر داده و هم مقاومت در برابر کشش و انعطاف پذیری فیلم را کاهش داده است. پلی‌آنیلین ذاتاً پلیمری صلب، خشک و انعطاف ناپذیر می‌باشد که این خاصیت کشش

### ۳-۸- بررسی خواص مکانیکی فیلم

از ویژگی‌های مطلوبی که می‌بایست هر فیلمی جهت بسته‌بندی داشته باشد، تحمل مناسب در برابر فشارهای رایج حاصل از استفاده، حمل و نقل و دستکاری فیلم‌ها به منظور نگهداری مواد غذایی است [۴۲]. سه عامل مهم در سنجش خواص مکانیکی فیلم‌های پلیمری شامل مقاومت کششی، مدول الاستیسیته و درصد افزایش طول تا نقطه پارگی می‌باشد [۴۳]. شاخص‌های خواص مکانیکی وابسته به خصوصیات میکروساختاری فیلم‌ها می‌باشد [۴۴]. مدول یانگ بیانگر شیب ناحیه خطی نمودار تنش نسبت به کرنش است، نشان‌دهنده سختی فیلم‌ها می‌باشد؛ لذا مدول الاستیسیته بیشتر بیانگر سختی بیشتر فیلم‌هاست. چندین مطالعه تأیید کرده‌اند که افزودن

وجود نانوذرات اکسیدمس نیز نمی تواند باعث جذب یا نگهداری مولکول های آب در ساختار فیلم کامپوزیت شود. هرچند با توجه به نتایج جدول ۳ وجود نانو ذرات اکسید مس تا حدودی خواص مکانیکی فیلم پلی لاکتیک اسید/پلی آنیلین/اکسیدمس نسبت به فیلم پلی لاکتیک اسید/پلی آنیلین را بهبود بخشیده است. وانگ و همکاران (۲۰۲۰) تاثیر نانوذرات سلولز کریستالی بر روی خواص مکانیکی فیلم پلی لاکتیک اسید/پلی آنیلین را بررسی کرده و گزارش داده اند که نانوذرات خواص مکانیکی فیلم پلی لاکتیک اسید/پلی آنیلین را بهبود داده است که نتایج تحقیق آنها نتایج تحقیق حاضر را تایید می کند [۳۵]. شگری و همکاران (۲۰۱۵) نیز تاثیر نانوذرات سیلیکا بر روی بهبود خواص مکانیکی فیلم کامپوزیت پلی لاکتیک اسید/پلی پیروول را تایید کرده اند [۴۶].

ناپذیری را به فیلم پلی لاکتیک اسید القا کرده است. همچنین برهمکنش های الکترواستاتیک بین زنجیره های پلیمری پلی لاکتیک اسید و پلی آنیلین می تواند پیوندهای درون مولکولی پلی لاکتیک اسید را تحت تاثیر قرار داده و کشش پذیری زنجیره های پلیمری پلی لاکتیک اسید آن را کاهش دهد. افزودن نانوذرات اکسیدمس به برخی فیلم های آب دوست مانند ژلاتین و آلژینات در برخی موارد شاید بتواند باعث افزایش کشش پذیری فیلم شود، زیرا در این فیلم ها، پلیمرهای استفاده شده آب دوست هستند و وجود نانوذره اکسیدمس می تواند با ایجاد برهمکنش های هیدروژنی باعث افزایش درصد آب در ساختار فیلم شود. از آنجا که مولکول های آب در پلیمرهای زیست تخریب پذیر نقش پلاستی سایزر دارند، بنابراین در این فیلم ها در برخی موارد وجود نانوذرات اکسیدمس باعث افزایش انعطاف پذیری می شود. ولی در مورد پلی لاکتیک اسید، با توجه اینکه این پلیمر اساسا به شدت آب گریز می باشد، بنابراین

**Table 3** Mechanical properties of polylactic acid film and its nanocomposites

YM (MPa)	EAB (%)	TS (MPa)	Speed (mm/min)	With (mm)	Film
1482.3±24.2 <sup>a</sup>	120.5±4 <sup>a</sup>	14.4±2 <sup>a*</sup>	10	3	PLA
1376.6±19.6 <sup>b</sup>	11.7±1.3 <sup>c</sup>	10.74±1.2 <sup>b</sup>	10	3	PLA/PPy
1265.2±20.3 <sup>c</sup>	21.4±1.4 <sup>b</sup>	13.64±0.9 <sup>a</sup>	10	3	PLA/ PPy/3%CuO
707.8±14.7 <sup>d</sup>	7.2±0.9 <sup>d</sup>	8.1±0.8 <sup>c</sup>	10	3	PLA/PAni
606.4±12.1 <sup>e</sup>	12.6±1.2 <sup>c</sup>	10.2±1.1 <sup>b</sup>	10	3	PLA/PAni/3%CuO

\* Different lowercase letters represent a significant difference ( $p < 0.05$ ) at a confidence level of 95% per column

پلی آنیلین/اکسیدمس شدت خاصیت آنتی اکسیدانی فیلم را بیشتر افزایش دادند. همچنین نفوذ پذیری به بخار آب فیلم در حضور نانوذرات اکسیدمس در هر دو سری فیلم های حاوی پلی پیروول و پلی آنیلین کاهش نشان داد. با بررسی خاصیت هدایت الکتریکی فیلم ها مشخص شد، فیلم پلی لاکتیک اسید خالص فاقد هدایت الکتریکی است (عایق هدایت الکتریکی) در حالی که فیلم های پلی لاکتیک اسید/پلی آنیلین یا پلی پیروول/اکسیدمس هدایت الکتریکی خوبی نشان دادند با بررسی تصاویر میکروسکوپ الکترونی با افزودن پلی پیروول و پلی آنیلین در سطح فیلم ها نسبت به فیلم پلی لاکتیک اسید خالص اشکال نامنظم بیشتر شده و پخش نانوذرات بخوبی قابل مشاهده است. آنالیز حرارتی نمونه با DSC نشانگر بهبود ویژگی های حرارتی کامپوزیت های حاوی نانوذرات اکسیدمس نسبت به فیلم پلی لاکتیک اسید خالص بود و در نهایت بررسی خواص مکانیکی فیلم ها نیز نشان از بهبود نسبی خواص

## ۴- نتیجه گیری

در سال های اخیر نانوفناوری و کاربردهای آن در صنعت غذا در پژوهش ها مورد توجه قرار گرفته است. استفاده از نانو ذرات فلزاتی نظیر اکسیدمس، اکسیدروی، دی اکسیدتیتانیوم، اکسیدمنیزیم و ... بعنوان مواد ضد میکروب و تقویت کننده ساختار فیلم رواج پیدا کرده است. قابلیت خاص پلیمرهای هادی نیز استفاده از آنها بعنوان و نیز نانوحسگرها جهت اطمینان از سلامتی غذا از جمله برخی کاربردهای جدید نانو در حوزه غذا است. نانوذرات می توانند به عنوان ترکیبات زیست فعال در غذاهای عملگرا استفاده شوند. در این مطالعه فیلم زیست تخریب پذیر هادی الکتریسته بر پایه پلی لاکتیک اسید اصلاح شده با پلی آنیلین یا پلی پیروول اکسیدمس تهیه گردید. طبق نتایج بدست آمده، نانوذرات اکسید مس باعث کاهش انحلال پذیری و محتوای رطوبت شدند. همچنین فیلم های حاوی پلی پیروول/ اکسیدمس نسبت به

- [10] Pirsa, S., Heidari, H. and Lotfi, J., 2016. Design selective gas sensors based on nano-sized polypyrrole/polytetrafluoroethylene and polypropylene membranes. *IEEE Sensors Journal*, 16(9), 2922-2928.
- [11] Alizadeh, N., Pirsa, S., Mani-Varnosfaderani, A. and Alizadeh, M.S., 2015. Design and fabrication of open-tubular array gas sensors based on conducting polypyrrole modified with crown ethers for simultaneous determination of alkylamines. *IEEE Sensors Journal*, 15(7), 4130-4136.
- [12] Li, Y., Li, G., Peng, H. and Chen, K., 2011. Facile synthesis of electroactive polypyrrole-chitosan composite nanospheres with controllable diameters. *Polymer International*, 60(4), 647-651.
- [13] Alizadeh, N., Pirsa, S., Mani-Varnosfaderani, A. and Alizadeh, M.S., 2015. Design and fabrication of open-tubular array gas sensors based on conducting polypyrrole modified with crown ethers for simultaneous determination of alkylamines. *IEEE Sensors Journal*, 15(7), 4130-4136.
- [14] Alizadeh, N., Atefi, A.A. and Pirsa, S., 2015. Nanostructured conducting polypyrrole film prepared by chemical vapor deposition on the interdigital electrodes at room temperature under atmospheric condition and its application as gas sensor. *Journal of the Iranian Chemical Society*, 12(9), 1585-1594.
- [15] Ghasemi, F., Pirsa, S., Alizadeh, M. and Mohtarami, F., 2018. Extraction and determination of volatile organic acid concentration in pomegranate, sour cherry, and red grape juices by PPy-Ag nanocomposite fiber for authentication. *Separation Science and Technology*, 53(1), 117-125.
- [16] Pirsa, S., Alizadeh, M. and Ghahremannejad, N., 2016. Application of nano-sized poly N-phenyl pyrrole coated polyester fiber to headspace microextraction of some volatile organic compounds and analysis by gas chromatography. *Current Analytical Chemistry*, 12(5), 457-464.
- [17] Alizadeh, M., Pirsa, S. and Faraji, N., 2017. Determination of lemon juice adulteration by analysis of gas chromatography profile of volatile organic compounds extracted with nano-sized polyester-polyaniline fiber. *Food analytical methods*, 10(6), 2092-2101.
- مکانیکی فیلم‌های حاوی پلی‌پیرول یا پلی‌آنیلین/نانوذرات اکسیدمس بود.
- ### ۴- منابع
- [1] Rasal, R.M., Janorkar, A.V. and Hirt, D.E., 2010. Poly (lactic acid) modifications. *Progress in polymer science*, 35(3), 338-356.
- [2] Jamshidian, M., Tehrani, E.A., Imran, M., Jacquot, M. and Desobry, S., 2010. Poly-Lactic Acid: production, applications, nanocomposites, and release studies. *Comprehensive reviews in food science and food safety*, 9(5), 552-571.
- [3] Conn, R.E., Kolstad, J.J., Borzelleca, J.F., Dixler, D.S., Filer Jr, L.J., LaDu Jr, B.N. and Pariza, M.W., 1995. Safety assessment of polylactide (PLA) for use as a food-contact polymer. *Food and Chemical Toxicology*, 33(4), 273-283.
- [4] Ray, S.S. and Bousmina, M., 2005. Biodegradable polymers and their layered silicate nanocomposites: in greening the 21st century materials world. *Progress in materials science*, 50(8), 962-1079.
- [5] Ray, S.S. and Okamoto, M., 2003. Polymer/layered silicate nanocomposites: a review from preparation to processing. *Progress in polymer science*, 28(11), 1539-1641.
- [6] Pirsa, S., 2017. Design of a portable gas chromatography with a conducting polymer nanocomposite detector device and a method to analyze a gas mixture. *Journal of separation science*, 40(8), 1724-1730.
- [7] Pirsa, S. and Nejad, F.M., 2017. Simultaneous analysis of some volatile compounds in food samples by array gas sensors based on polypyrrole nanocomposites. *Sensor Review*.
- [8] Pirsa, S., 2017. Chemiresistive gas sensors based on conducting polymers. In *Handbook of Research on Nanoelectronic Sensor Modeling and Applications* (pp. 150-180). IGI Global.
- [9] Pirsa, S., 2013. Fabrication of 1, 1-dimethylhydrazine gas sensor based on nano structure conducting polyaniline. *Journal of Sciences, Islamic Republic of Iran*, 24(3), 209-215.

- cellulose nanofibers modified by conductive polypyrrole and zinc oxide nanoparticles. *Journal of Applied Polymer Science*, 135(34), 46617.
- [28] Asadi, S. and Pirsa, S., 2020. Production of biodegradable film based on polylactic acid, modified with lycopene pigment and TiO<sub>2</sub> and studying its physicochemical properties. *Journal of Polymers and the Environment*, 28(2), 433-444.
- [29] Li, H., Nie, W., Deng, C., Chen, X. and Ji, X., 2009. Crystalline morphology of poly (L-lactic acid) thin films. *European polymer journal*, 45(1), 123-130.
- [30] Sung, S.Y., Sin, L.T., Tee, T.T., Bee, S.T., Rahmat, A.R., Rahman, W.A.W.A., Tan, A.C. and Vikhraman, M., 2013. Antimicrobial agents for food packaging applications. *Trends in Food Science & Technology*, 33(2), 110-123.
- [31] Vásconez, M.B., Flores, S.K., Campos, C.A., Alvarado, J. and Gerschenson, L.N., 2009. Antimicrobial activity and physical properties of chitosan-tapioca starch based edible films and coatings. *Food Research International*, 42(7), 762-769.
- [32] Pirsa, S., 2016. Fast determination of water content of some organic solvents by smart sensor based on PPy-Ag nanoco. *Nanoscience & Nanotechnology-Asia*, 6(2), 119-127.
- [33] Delpouve, N., Stoclet, G., Saiter, A., Dargent, E. and Marais, S., 2012. Water barrier properties in biaxially drawn poly (lactic acid) films. *The Journal of Physical Chemistry B*, 116(15), 4615-4625.
- [34] Das, D., Nath, B.C., Phukon, P. and Dolui, S.K., 2013. Synthesis and evaluation of antioxidant and antibacterial behavior of CuO nanoparticles. *Colloids and Surfaces B: Biointerfaces*, 101, pp.430-433.
- [35] Wang, X., Tang, Y., Zhu, X., Zhou, Y. and Hong, X., 2020. Preparation and characterization of polylactic acid/polyaniline/nanocrystalline cellulose nanocomposite films. *International journal of biological macromolecules*, 146, 1069-1075.
- [36] Tang, Z., Fan, F., Chu, Z., Fan, C. and Qin, Y., 2020. Barrier properties and characterizations of poly (lactic acid)/ZnO nanocomposites. *Molecules*, 25(6), 1310.
- [37] Xie, S., Zhang, S., Wang, F., Yang, M., Seguela, R. and Lefebvre, J.M., 2007. Preparation, structure and thermomechanical properties of nylon-6 nanocomposites with
- [18] Sheikh-Mohseni, M.A. and Pirsa, S., 2016. Nanostructured Conducting Polymer/Copper Oxide as a Modifier for Fabrication of L-DOPA and Uric Acid Electrochemical Sensor. *Electroanalysis*, 28(9), 2075-2080.
- [19] Pirsa, S., Zandi, M., Almasi, H. and Hasanlu, S., 2015. Selective hydrogen peroxide gas sensor based on nanosized polypyrrole modified by CuO nanoparticles. *Sensor Letters*, 13(7), 578-583.
- [20] Bruna, J.E., Peñaloza, A., Guarda, A., Rodríguez, F. and Galotto, M.J., 2012. Development of MtCu<sub>2</sub>+LDPE nanocomposites with antimicrobial activity for potential use in food packaging. *Applied clay science*, 58, 79-87.
- [21] Llorens, A., Lloret, E., Picouet, P.A., Trbojevich, R. and Fernandez, A., 2012. Metallic-based micro and nanocomposites in food contact materials and active food packaging. *Trends in Food Science & Technology*, 24(1), 19-29.
- [22] Peng, B., Fan, H. and Zhang, Q., 2013. A giant electrocaloric effect in nanoscale antiferroelectric and ferroelectric phases coexisting in a relaxor Pb<sub>0.8</sub>Ba<sub>0.2</sub>ZrO<sub>3</sub> thin film at room temperature. *Advanced Functional Materials*, 23(23), 2987-2992.
- [23] Pirsa, S. and Shamusy, T., 2019. Intelligent and active packaging of chicken thigh meat by conducting nano structure cellulose-polypyrrole-ZnO film. *Materials Science and Engineering: C*, 102, 798-809.
- [24] Jabraili, A., Pirsa, S., Pirouzifard, M.K. and Amiri, S., 2021. Biodegradable nanocomposite film based on gluten/silica/calcium chloride: physicochemical properties and bioactive compounds extraction capacity. *Journal of Polymers and the Environment*, 1-15.
- [25] Hosseini, M.H., Razavi, S.H. and Mousavi, M.A., 2009. Antimicrobial, physical and mechanical properties of chitosan-based films incorporated with thyme, clove and cinnamon essential oils. *Journal of food processing and preservation*, 33(6), 727-743.
- [26] Siripatrawan, U. and Harte, B.R., 2010. Physical properties and antioxidant activity of an active film from chitosan incorporated with green tea extract. *Food hydrocolloids*, 24(8), 770-775.
- [27] Pirsa, S., Shamusy, T. and Kia, E.M., 2018. Smart films based on bacterial

- [42] Aguirre, A., Borneo, R. and León, A.E., 2013. Antimicrobial, mechanical and barrier properties of triticale protein films incorporated with oregano essential oil. *Food Bioscience*, 1, 2-9.
- [43] Jamshidian, M., Tehrany, E.A., Imran, M., Akhtar, M.J., Cleymand, F. and Desobry, S., 2012. Structural, mechanical and barrier properties of active PLA-antioxidant films. *Journal of Food Engineering*, 110(3), 380-389.
- [44] Pelissari, F.M., Grossmann, M.V., Yamashita, F. and Pineda, E.A.G., 2009. Antimicrobial, mechanical, and barrier properties of cassava starch- chitosan films incorporated with oregano essential oil. *Journal of agricultural and food chemistry*, 57(16), 7499-7504.
- [45] Ezati, P. and Rhim, J.W., 2020. pH-responsive chitosan-based film incorporated with alizarin for intelligent packaging applications. *Food Hydrocolloids*, 102, 105629.
- [46] Shokry, H., Vanamo, U., Wiltschka, O., Niinimäki, J., Lerche, M., Levon, K., Linden, M. and Sahlgren, C., 2015. Mesoporous silica particle-PLA-PANI hybrid scaffolds for cell-directed intracellular drug delivery and tissue vascularization. *Nanoscale*, 7(34), 14434-14443.
- lamella-type and fiber-type sepiolite. *Composites science and technology*, 67(11-12), 2334-2341.
- [38] García-López, D., Fernández, J.F., Merino, J.C., Santarén, J. and Pastor, J.M., 2010. Effect of organic modification of sepiolite for PA 6 polymer/organoclay nanocomposites. *Composites Science and Technology*, 70(10), 1429-1436.
- [39] Ten, E., Bahr, D.F., Li, B., Jiang, L. and Wolcott, M.P., 2012. Effects of cellulose nanowhiskers on mechanical, dielectric, and rheological properties of poly (3-hydroxybutyrate-co-3-hydroxyvalerate)/cellulose nanowhisker composites. *Industrial & Engineering Chemistry Research*, 51(7), 2941-2951.
- [40] Vasile, C., Râpă, M., Ștefan, M., Stan, M., Macavei, S., Darie-Niță, R.N., Barbu-Tudoran, L., Vodnar, D.C., Popa, E.E., Ștefan, R. and Borodi, G., 2017. New PLA/ZnO: Cu/Ag bionanocomposites for food packaging. *Express Polymer Letters*, 11(7).
- [41] Alam, J., Alam, M., Raja, M., Abduljaleel, Z. and Dass, L.A., 2014. MWCNTs-reinforced epoxidized linseed oil plasticized polylactic acid nanocomposite and its electroactive shape memory behaviour. *International journal of molecular sciences*, 15(11), 19924-19937.



## Comparison of physicochemical properties of biodegradable conductive films of polylactic acid containing polypyrrole / copper oxide with polyaniline / copper oxide

Abdolsattari, P. <sup>1</sup>, Rezazadeh-Bari, M. <sup>2\*</sup>, Pirs, S. <sup>3</sup>

1. Ph.D student, Department Food Science and Technology, Urmia Campus, University of Urmia, Iran.
2. Professor, Department Food Science and Technology, Urmia Campus, University of Urmia, Iran.
3. Assistant Professor, Department Food Science and Technology, Urmia Campus, University of Urmia, Iran.

ARTICLE INFO	ABSTRACT
<p><b>Article History:</b></p> <p>Received 2021/ 10/ 27 Accepted 2022/ 02/ 05</p> <hr/> <p><b>Keywords:</b></p> <p>Biodegradable film, Conductive film, Nanocomposite, Copper oxide, Polypyrrole, Polyaniline.</p> <hr/> <p><b>DOI:</b> 10.52547/fsct.19.123.161 <b>DOR:</b> 20.1001.1.20088787.1401.19.123.27.2</p> <hr/> <p>*Corresponding Author E-Mail: <a href="mailto:m.rezazadehbari@urmia.ac.ir">m.rezazadehbari@urmia.ac.ir</a></p>	<p>Due to the fact that the use of biodegradable films helps to protect the environment, in this study, the physical, mechanical, antioxidant and thermal properties of polylactic acid films containing polypyrrole, and copper oxide were investigated. The results showed that due to the addition of oxidant nanoparticles, the thickness of the films increased and their water vapor permeability decreased significantly. The solubility of the films also decreased significantly with increasing the amount of copper oxide nanoparticles. The resulting films showed less flexibility due to the addition of polyaniline and polypyrrole, while their resistance to failure showed a relative increase. Antioxidant activity of polylactic acid films containing polypyrrole / CuO and polyaniline / CuO showed a significant increase compared to pure polylactic acid (<math>p &lt; 0.05</math>). Pure polylactic acid film did not show any electrical conductivity, If the addition of polypyrrole and polyaniline increased the electrical conductivity of the films, the copper oxide nanoparticles also had no significant effect on the electrical conductivity. These films can be used as biosensors in food packaging due to their conductivity and suitable thermal, mechanical and water vapor permeability properties.</p>